

## Лекция 8

### **9. Автономные дифференциальные уравнения первого порядка.**

В этом разделе мы рассмотрим дифференциальные уравнения вида

$$\dot{u} = f(u) \quad (1)$$

Точка означает производную по независимой переменной  $t$ . Уравнения такого типа, очевидно, являются уравнениями 1-го порядка. Правая часть при этом зависит только от функции  $u$  и не зависит от  $t$ . Уравнения такого типа называют *автономными*<sup>1</sup>.

Уравнение (1) является частным случаем уравнения уравнением с разделяющимися переменными. Такие уравнения интегрируются в квадратурах. Действительно, имеем

$$\frac{du}{f(u)} = dt, \quad \Rightarrow \quad t - t_0 = \int_{u_0}^u \frac{d\xi}{f(\xi)}$$

Эту возможность решения уравнения (1) необходимо иметь в виду. Однако часто этот подход к рассматриваемому уравнению оказывается неэффективным: интеграл в правой части может “не браться”, к тому же переход от функции  $t = t(u)$  к обратной функции  $u = u(t)$  может быть сопряжен со значительными трудностями. Поэтому в большом количестве примеров оказывается более информативным *качественное* исследование уравнения (1).

#### **9.1. Геометрические интерпретации автономного дифференциального уравнения 1-го порядка**

Перечислим некоторые приемы качественного исследования уравнения такого типа.

1. Одним из приемов такого исследования, изучавшийся в курсе дифференциальных уравнений, является использование *поля направлений*, порождаемого рассматриваемым уравнением на плоскости  $(t, u)$ . В силу того, что производная функции в точке определяет тангенс угла наклона касательной к графику функции, можно

---

<sup>1</sup>Примером уравнения 1-го порядка, которое не является автономным, является уравнение  $\dot{u} = f(t, u)$ .

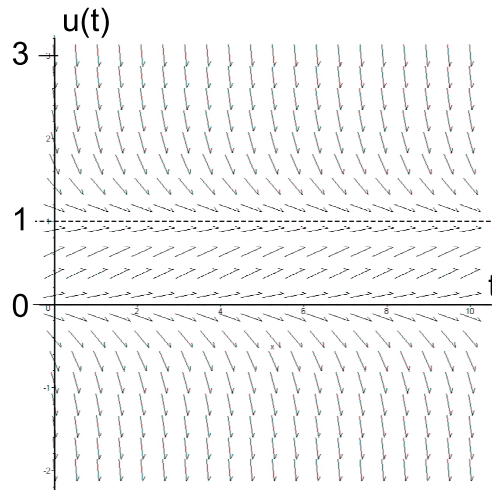


Рис. 1.

получить представление о графиках различных решений  $u(t)$ , изобразив стрелками направление касательных в каждой точке плоскости  $(t, u)$ . В силу того, что правая часть уравнения не зависит от  $t$ , при фиксированном значении  $u$  тангенс угла наклона касательной однозначно определяется значением  $f(u)$ . Поэтому при любом фиксированном значении  $t$  поле направлений будет одним и тем же, что упрощает исследование задачи.

Нарисовав поле направлений, можно представить, как ведут себя *интегральные кривые* уравнения (1). Интегральные кривые, по сути, являются графиками решений уравнения (1), соответствующих различным начальным данным.

**Пример.** Рассмотрим так называемое *логистическое уравнение*

$$\dot{u} = u(1 - u) \quad (2)$$

Функция  $f(u) = u(1 - u)$  обращается в нуль при  $u = 0$  и  $u = 1$ . Нарисуем поле направлений. При  $u = 0$  и  $u = 1$  векторы направления горизонтальны, выше  $u = 1$  они “смотрят” вниз, между прямыми  $u = 0$

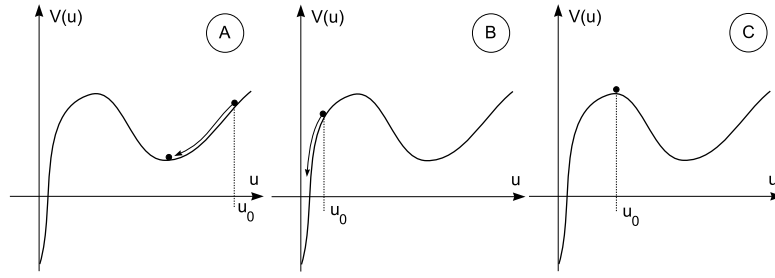


Рис. 2.

и  $u = 1$  - “вверх”, ниже  $u = 0$  - тоже “вниз”. Получается, что интегральные кривые с ростом  $t$  “прижимаются” к состоянию равновесия  $u = 1$ . Это состояние равновесия является устойчивым. Наоборот, состояние равновесия  $u = 0$  является неустойчивым. Представленная качественная картина проста и понятна. Вместе с тем, общее *точное* решение логистического уравнения также может быть записано. Оно имеет вид

$$u(t) = 1 + \frac{1}{Ce^t - 1}. \quad (3)$$

Здесь  $C$  - произвольная константа, которая определяется из начального условия.

**2.** Пусть  $f(u) = -V'(u)$ . Уравнение (1) может быть переписано в виде

$$\dot{u} = -V'(u) \quad (4)$$

Умножим обе части уравнения на  $-\dot{u}$ . Получим

$$-(\dot{u})^2 = V'(u)\dot{u} = \frac{d}{dt}V(u(t)) \leq 0, \quad (5)$$

причем равенство нулю производной достигается лишь в точке равновесия  $\dot{u} = 0$ .

Соотношение (5) допускает следующую простую геометрическую интерпретацию. Если  $u(t)$  - решение уравнения (4), то с течением

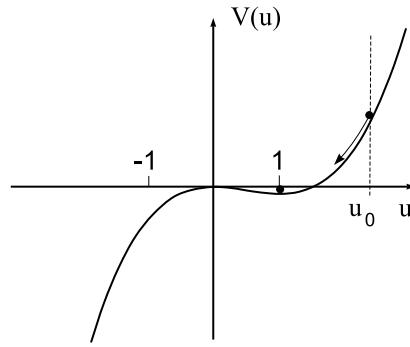


Рис.3.

времени величина  $V(u(t))$  не может увеличиваться, причем оставаться постоянной,  $u(t) \equiv \tilde{u}$ , она может тогда и только тогда, когда  $V'(\tilde{u}) = 0$ . Нарисуем профиль функции  $V(u)$  и возьмем в качестве начального условия некоторое значение  $u = u_0$ , отметив его точкой на этом профиле. Очевидно, эволюция, описываемая уравнением (4), будет соответствовать движению этой точки *вниз* по поверхности “рельефа”  $V(u)$ . При этом возможны следующие три ситуации:

1. Точка опускается в ближайший минимум  $V(u)$  и там останавливается, см. Рис.2(А). Состояние равновесия, соответствующее этому минимуму, является устойчивым.

2. Если функция  $V(u)$  не ограничена снизу, точка может спускаться вниз бесконечно, см. Рис.2(В).

3. Если точка располагается в точке максимума  $V(u)$  (которая также является состоянием равновесия), Рис.2(С), она может там оставаться бесконечно долго. Вместе с тем любое возмущение выводит точку из этого состояния равновесия, и ее дальнейшая эволюция определяется п.1 или п.2. Таким образом, точка максимума  $V(u)$  соответствует неустойчивому состоянию равновесия уравнения (4).

**Пример.** Для логистического уравнения (2) функция  $V(u)$  имеет вид

$$V(u) = -\frac{1}{2}u^2 + \frac{1}{3}u^3$$

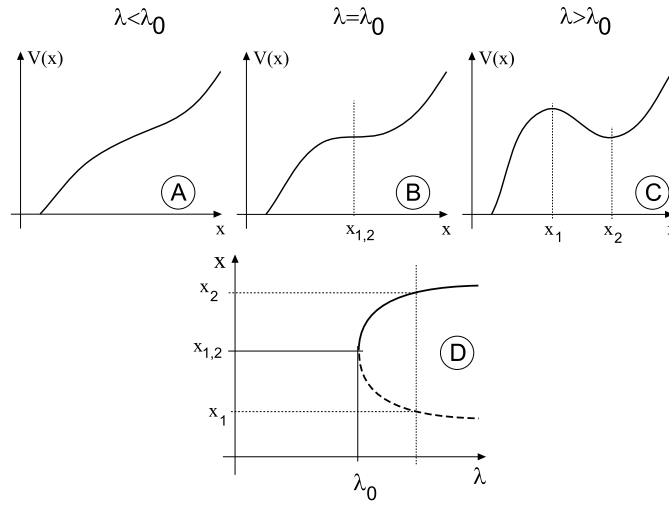


Рис. 4.

Рис.3 наглядно иллюстрирует устойчивость состояния равновесия  $u = 1$  и неустойчивость состояния равновесия  $u = 0$ .

## 9.2. Бифуркации состояний равновесия

Используя представленную выше геометрическую интерпретацию, можно вернуться к рассмотрению бифуркаций решений уравнения  $F(x, \lambda) = 0$ , трактуя их как состояния равновесия уравнения

$$\dot{x} = F(x, \lambda), \quad x = x(t). \quad (6)$$

Как и раньше, введем обозначение  $V(x, \lambda) = - \int_{x_0}^x F(\xi, \lambda) d\xi$ .

**Бифуркация типа седло узел.** При этой бифуркации с ростом (или уменьшением) параметра  $\lambda$  два состояния равновесия, удовлетворяющие соотношению  $F(x, \lambda) = 0$ , сливаются и исчезают. Характерным примером, где возникает такая бифуркация, является уравнение

$$\dot{x} = \lambda - x^2 \quad (7)$$

Для уравнения (7) точкой бифуркации является значение  $\lambda = 0$ . С точки зрения графика функции  $V(x, \lambda)$  при этой бифуркации происходит слияние и исчезновение двух соседних точек экстремума  $V(x, \lambda)$ . Одна из этих точек экстремума является максимумом, другая - минимумом, соответственно бифуркация состоит в исчезновении пары - *устойчивого* и *неустойчивого* состояний равновесия. Один из “сценариев” такого слияния показан на Рис.4(A-C). Соответствующая бифуркационная диаграмма показана на Рис.4(D). Сплошными линиями представлены устойчивые состояния равновесия, пунктирными - неустойчивые. Другой “сценарий” слияния максимума и минимума  $V(x, \lambda)$ , при котором максимум находится справа от минимума, предлагается представить самим.

*Транскритическая бифуркация.* Бифуркационная диаграмма для транскритической бифуркации показана на Рис.4 лекции 3. Характерный пример такой бифуркации представляет уравнение

$$\dot{x} = \lambda^2 - x^2 \quad (8)$$

при этом бифуркация имеет место при  $\lambda = 0$ .

Транскритическая бифуркация не является бифуркацией “общего положения”. Для нее помимо основного условия  $F_x(x_0, \lambda_0) = 0$  требуется дополнительное условие  $F_\lambda(x_0, \lambda_0) = 0$ , при том, что дискриминант  $D$  должен быть положителен. С точки зрения графика функции  $V(x, \lambda)$  эта бифуркация состоит в том, что при некотором значении  $\lambda = \lambda_0$  максимум и минимум функции  $V(x, \lambda)$ , существующие при  $\lambda < \lambda_0$ , сливаются, а затем при  $\lambda > \lambda_0$  “разбегаются” снова. Этот сценарий бифуркации иллюстрируется графиками на Рис.5(A-C). Соответствующая бифуркационная диаграмма представлена на Рис.5(D). Сплошными линиями представлены устойчивые состояния равновесия, пунктирными - неустойчивые.

*Изолированное состояние равновесия.* Изолированное состояние равновесия называется таковым в силу того, что оно существует только при выделенном значении  $\lambda = \lambda_0$  и не может быть продолжено по этому параметру. Такая ситуация также не является ситуацией общего положения. Для нее помимо основного условия  $F_x(x_0, \lambda_0) = 0$  требуется выполнение дополнительного условия  $F_\lambda(x_0, \lambda_0) = 0$ , причем дискриминант  $D$  должен быть отрицателен. Примером уравне-

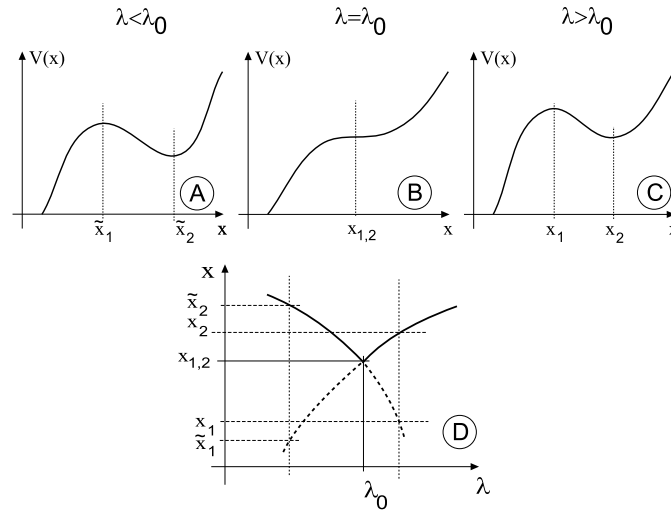


Рис. 5.

ния, имеющего состояние равновесия лишь при единственном значении  $\lambda = 0$ , является уравнение

$$\dot{x} = \lambda^2 + x^2 \quad (9)$$

С точки зрения графика функции  $V(x, \lambda)$  изолированное состояние равновесия означает, что при значениях  $\lambda$ , близких к  $\lambda_0$ , функция  $V(x, \lambda)$  не имеет максимумов и минимумов вблизи точки  $x = x_0$ , а при  $\lambda = \lambda_0$  имеет в точке  $x = x_0$  горизонтальную касательную. Эта ситуация иллюстрируется графиками на Рис.6(А-С). Соответствующая бифуркационная диаграмма (состоящая из единственной точки) представлена на Рис.6(Д).

**Бифуркация “вилка”.** Бифуркация “вилка” характерна для систем с дополнительными симметриями. В частности, как было показано в лекции 3, если функция  $F(x, \lambda)$  есть нечетная функция переменной  $x$  при любом  $\lambda$

$$F(-x, \lambda) = -F(x, \lambda), \quad \lambda \in \mathbb{R}$$

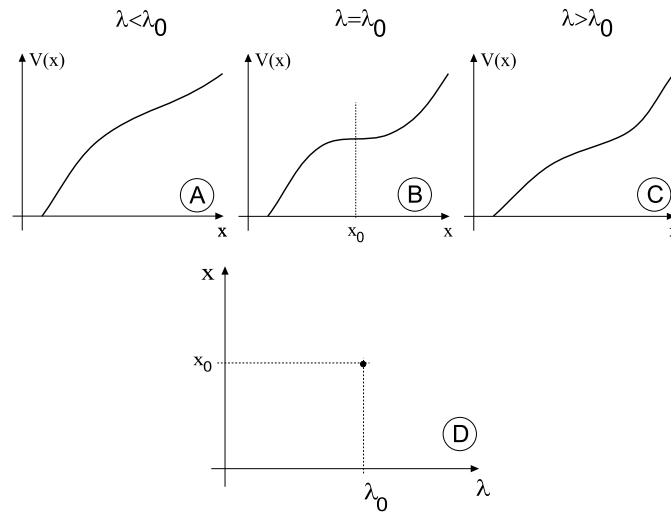


Рис. 6.

то условием для возникновения бифуркации “вилка” является условие

$$F_x(0, \lambda_0) = 0 \quad (10)$$

Это условие не является обременительным, поэтому бифуркация “вилка” часто встречается в различных приложениях. Примером уравнения, для которого эта бифуркация имеет место (при  $\lambda = 0$ ), является уравнение

$$\dot{x} = x(\lambda - x^2)$$

Пусть  $F(x, \lambda)$  - нечетная функция. Тогда при любом  $\lambda$  функция

$$V(x, \lambda) = - \int_0^x F(\xi, \lambda) dx$$

является четной. Если при некотором значении  $\lambda = \lambda_0$  имеет место бифуркация “вилка”, то либо при  $\lambda \gtrsim \lambda_0$ , либо при  $\lambda \lesssim \lambda_0$  функция  $V(x, \lambda)$  имеет вблизи точки  $x = 0$  два симметричных экстремума



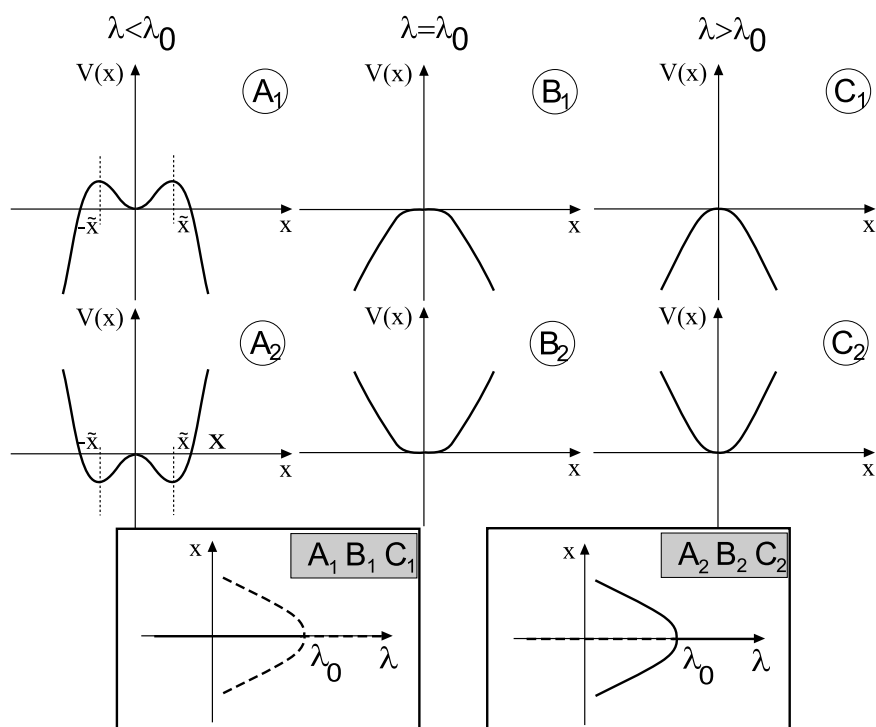


Рис. 7.

$x = \pm \tilde{x}$ . При этом  $x = 0$  также является экстремумом этой функции при любом  $\lambda$ , и если  $x = 0$  является минимумом, то  $x = \pm \tilde{x}$  являются максимумами, а если  $x = 0$  является максимумом, то  $x = \pm \tilde{x}$  являются минимумами. Бифуркация “вилка” при этом состоит в том, что при  $\lambda = \lambda_0$  экстремумы  $x = \pm \tilde{x}$  сливаются с экстремумом в  $x = 0$ , при этом экстремум в  $x = 0$  меняет свой тип (с максимума на минимум или наоборот).

Рисунок 7 иллюстрирует два сценария, по которым может произойти бифуркация “вилка”. Предполагается, что в обоих случаях при  $\lambda < \lambda_0$  имеется три состояния равновесия уравнения. В первом из рассматриваемых сценариев состояния равновесия  $x = \pm \tilde{x}$  являются неустойчивыми, а  $x = 0$  - устойчивым состоянием равновесия.

В результате бифуркации при  $\lambda > \lambda_0$  пара состояний  $x = \pm \tilde{x}$  “схлопываются” и исчезают, а  $x = 0$  теряет устойчивость. Такой тип бифуркации “вилка” называется *субкритическим*, см. графики  $A_1 - C_1$  на Рис.7. Второй сценарий предполагает, что при  $\lambda < \lambda_0$  состояния равновесия  $x = \pm \tilde{x}$  являются устойчивыми, а  $x = 0$  - является неустойчивым. В точке бифуркации состояния равновесия  $x = \pm \tilde{x}$  исчезают, а  $x = 0$  приобретает устойчивость (*суперкритический* тип бифуркации, см. графики  $A_2 - C_2$  на Рис.7.)

### Задачи:

1. Убедитесь в том, что общее решение логистического уравнения (2) имеет вид (3). Выясните:

- каким значениям константы  $C$  соответствуют решения, стремящиеся к 1 при  $t \rightarrow \infty$ ?
- каким значениям константы  $C$  соответствуют решения, стремящиеся к  $-\infty$  при  $t \rightarrow \infty$ ?
- ли у этого уравнения решения, стремящиеся к  $+\infty$  или  $-\infty$  при стремлении  $t$  к некоторому *конечному* значению  $t_0$ ?

2. Найти состояния равновесия и выяснить их устойчивость для следующих уравнений

$$1. \quad \dot{u} = \operatorname{sh} u - \frac{1}{6} \operatorname{sh} 2u$$

$$2. \quad \dot{u} = \frac{\sin^3 u}{1 + \cos u}$$

$$3. \quad \dot{u} = u - \frac{u}{1 + u^2/6}$$

3. Найти значения  $\lambda$ , при которых состояния равновесия претерпевают бифуркации и выяснить типы этих бифуркаций

1.  $\dot{u} = \operatorname{sh} u - \lambda \operatorname{sh} 2u$
2.  $\dot{u} = e^{-u} - u^2 - \lambda$
3.  $\dot{u} = \lambda \operatorname{th} u - u$
4.  $\dot{u} = -\lambda u + \sin u$
5.  $\dot{u} = u(1 - u) - \lambda$
6.  $\dot{u} = u + u^3 - \lambda u^5$